

Starkniederschlagshöhen und -spenden gemäß KOSTRA-DWD-2010R

Auswertungszeitraum von 1951 - 2010, Januar - Dezember

Rasterfeld: 66006

Zeile: 66

Spalte: 6

Seite: 1/2

| Dauerstufe D | Wiederkehrzeit T | | | | | | | | | | | | | | | | | | |
|--------------|------------------|------|------------|------|------------|------|------------|------|------------|------|------------|------|------------|------|------------|------|------------|-------|------------|
| | 1 a | | 2 a | | 3 a | | 5 a | | 10 a | | 20 a | | 30 a | | 50 a | | 100 a | | |
| min | Std | mm | l / (s ha) | mm | l / (s ha) | mm | l / (s ha) | mm | l / (s ha) | mm | l / (s ha) | mm | l / (s ha) | mm | l / (s ha) | mm | l / (s ha) | mm | l / (s ha) |
| 5 | | 5,2 | 173,3 | 6,9 | 230,0 | 7,8 | 260,0 | 9,0 | 300,0 | 10,7 | 356,7 | 12,4 | 413,3 | 13,3 | 443,3 | 14,5 | 483,3 | 16,2 | 540,0 |
| 10 | | 8,2 | 136,7 | 10,4 | 173,3 | 11,7 | 195,0 | 13,4 | 223,3 | 15,6 | 260,0 | 17,9 | 298,3 | 19,2 | 320,0 | 20,8 | 346,7 | 23,1 | 385,0 |
| 15 | | 10,1 | 112,2 | 12,8 | 142,2 | 14,3 | 158,9 | 16,3 | 181,1 | 19,0 | 211,1 | 21,7 | 241,1 | 23,2 | 257,8 | 25,2 | 280,0 | 27,9 | 310,0 |
| 20 | | 11,4 | 95,0 | 14,5 | 120,8 | 16,3 | 135,8 | 18,5 | 154,2 | 21,5 | 179,2 | 24,6 | 205,0 | 26,4 | 220,0 | 28,6 | 238,3 | 31,6 | 263,3 |
| 30 | | 13,2 | 73,3 | 16,8 | 93,3 | 19,0 | 105,6 | 21,6 | 120,0 | 25,3 | 140,6 | 28,9 | 160,6 | 31,0 | 172,2 | 33,7 | 187,2 | 37,3 | 207,2 |
| 45 | | 14,7 | 54,4 | 19,0 | 70,4 | 21,6 | 80,0 | 24,8 | 91,9 | 29,1 | 107,8 | 33,5 | 124,1 | 36,0 | 133,3 | 39,2 | 145,2 | 43,5 | 161,1 |
| 60 | | 15,6 | 43,3 | 20,5 | 56,9 | 23,4 | 65,0 | 27,0 | 75,0 | 32,0 | 88,9 | 36,9 | 102,5 | 39,8 | 110,6 | 43,4 | 120,6 | 48,3 | 134,2 |
| 90 | | 17,4 | 32,2 | 22,6 | 41,9 | 25,6 | 47,4 | 29,5 | 54,6 | 34,6 | 64,1 | 39,8 | 73,7 | 42,9 | 79,4 | 46,7 | 86,5 | 51,9 | 96,1 |
| 120 | 2 | 18,8 | 26,1 | 24,2 | 33,6 | 27,4 | 38,1 | 31,3 | 43,5 | 36,7 | 51,0 | 42,1 | 58,5 | 45,3 | 62,9 | 49,2 | 68,3 | 54,6 | 75,8 |
| 180 | 3 | 21,0 | 19,4 | 26,7 | 24,7 | 30,0 | 27,8 | 34,2 | 31,7 | 39,9 | 36,9 | 45,6 | 42,2 | 48,9 | 45,3 | 53,1 | 49,2 | 58,8 | 54,4 |
| 240 | 4 | 22,7 | 15,8 | 28,6 | 19,9 | 32,0 | 22,2 | 36,4 | 25,3 | 42,3 | 29,4 | 48,2 | 33,5 | 51,6 | 35,8 | 56,0 | 38,9 | 61,9 | 43,0 |
| 360 | 6 | 25,3 | 11,7 | 31,5 | 14,6 | 35,2 | 16,3 | 39,8 | 18,4 | 46,0 | 21,3 | 52,2 | 24,2 | 55,9 | 25,9 | 60,4 | 28,0 | 66,7 | 30,9 |
| 540 | 9 | 28,2 | 8,7 | 34,8 | 10,7 | 38,6 | 11,9 | 43,5 | 13,4 | 50,0 | 15,4 | 56,6 | 17,5 | 60,4 | 18,6 | 65,3 | 20,2 | 71,9 | 22,2 |
| 720 | 12 | 30,5 | 7,1 | 37,3 | 8,6 | 41,3 | 9,6 | 46,3 | 10,7 | 53,2 | 12,3 | 60,0 | 13,9 | 64,0 | 14,8 | 69,0 | 16,0 | 75,8 | 17,5 |
| 1080 | 18 | 34,0 | 5,2 | 41,2 | 6,4 | 45,4 | 7,0 | 50,7 | 7,8 | 57,9 | 8,9 | 65,1 | 10,0 | 69,3 | 10,7 | 74,6 | 11,5 | 81,8 | 12,6 |
| 1440 | 24 | 36,8 | 4,3 | 44,3 | 5,1 | 48,6 | 5,6 | 54,1 | 6,3 | 61,6 | 7,1 | 69,1 | 8,0 | 73,4 | 8,5 | 78,9 | 9,1 | 86,4 | 10,0 |
| 2880 | 48 | 47,5 | 2,7 | 55,0 | 3,2 | 59,4 | 3,4 | 64,9 | 3,8 | 72,4 | 4,2 | 79,9 | 4,6 | 84,2 | 4,9 | 89,8 | 5,2 | 97,3 | 5,6 |
| 4320 | 72 | 55,1 | 2,1 | 62,6 | 2,4 | 67,0 | 2,6 | 72,5 | 2,8 | 80,1 | 3,1 | 87,6 | 3,4 | 92,0 | 3,5 | 97,5 | 3,8 | 105,0 | 4,1 |

Angaben in mm: Bemessungsniederschlagswerte h(n)

Angaben in l / (s ha): Regenspende R(n) mit $R(n) = h(n) \times 1,666667 / D[\text{min}]$

Toleranzbereiche:

+/- 10 % für $1 \text{ a} \leq T \leq 5 \text{ a}$

+/- 15 % für $5 \text{ a} < T \leq 50 \text{ a}$

+/- 20 % für $50 \text{ a} < T \leq 100 \text{ a}$

Datenbasis: KOSTRA-DWD-2010R des Deutschen Wetterdienstes. Die Regenspende wurde auf Basis des Bemessungsniederschlags zur jeweiligen Andauer berechnet.

Für die Richtigkeit und Aktualität der Angaben wird keine Gewähr übernommen. Erstellt 07/2022.

Starkniederschlagshöhen und -spenden gemäß KOSTRA-DWD-2010R

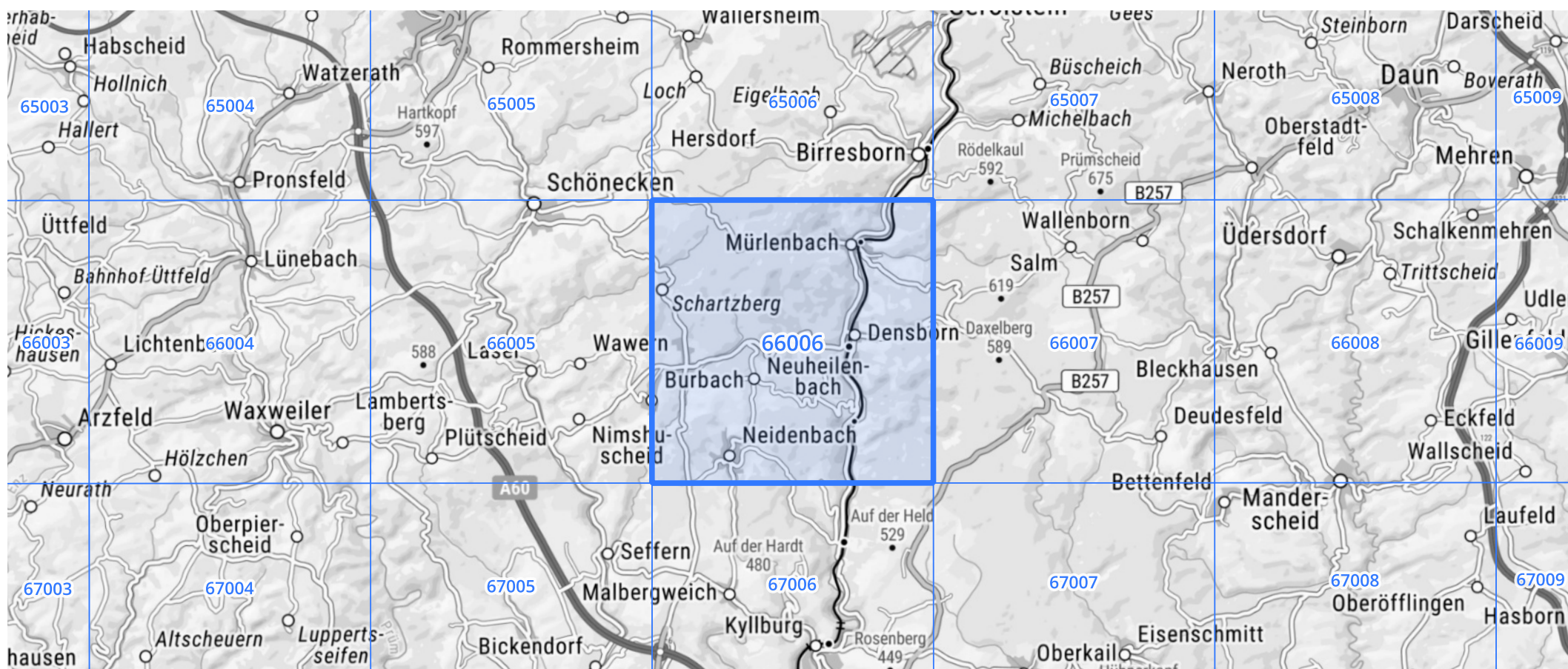
Auswertungszeitraum von 1951 - 2010, Januar - Dezember

Rasterfeld: 66006

Zeile: 66

Spalte: 6

Seite: 2/2



Quelle Rasterdaten: KOSTRA-DWD-2010R des Deutschen Wetterdienstes.

Kartendarstellung: © Bundesamt für Kartographie und Geodäsie (2022), Datenquellen: https://sgx.geodatenzentrum.de/web_public/gdz/datenquellen/Datenquellen_TopPlusOpen.html

Für die Richtigkeit und Aktualität der Angaben wird keine Gewähr übernommen. Erstellt 07/2022.